

九州大学 正員 太田俊昭
〃 学生員 藤岡健三

1. 予えがき

近年、優れた構造用材の開発と、熔接技術の進歩に依り薄肉多室断面形式の部材が、構造物の主要強度部材として、橋梁の主桁や主塔に、数多く使用される様になって来た。従来その理論は、主にセン断流理論、特に曲げ部材が存在する時には、セン断場理論等に基づいて行なわれてゐるが、必ずしも適用範囲は弾性域に止まつており、この種部材の弾塑性変形を解明する一般理論は、有限要素法に依り解析を除いては、まだ確立されていない様である。

さて、有限要素法は、特に複雑な境界条件を有する板状構造物に対して、有効な数値解析法であり、薄肉多室断面形の弾塑性解析にも、それなりに有用であると考えられる。しかしながら、多くの補剛材と水平、垂直板が構成されるこの種部材を解くには、多大の要素に分割する必要があり、解式誘導の労力と、解を得る為の演算時間が共に膨大となり、実用上著しい難があると見える。

これに対して本論で提唱する理論は、在來の弾性曲げ挙りセン断流理論を塑性域にまで一般化したものであり、とりわけ応力と変形に関する基礎式が既往の弾性式と、同形式で導かれていた為、構造解析は、弾性のそれに準じ得るものになり、簡易性と実用性とが、そのまま生きていると言えよう。なお荷重条件としては、一般に曲げ、挙り、および引張の組合せが考えられるが、ここでは、オーナメントとして曲げ挙りについて報告する。

2. 基礎理論

挙りモーメント T 、挙率 $\dot{\theta}$ とすると、挙りによるセン断応力の増分 σ は、一般に次式で与えられる⁽²⁾⁽³⁾

$$\sigma = G \dot{\theta} - 2 T G \dot{\epsilon} \quad \dots \dots \dots (1)$$

また、挙りに依る断面の反りの増分を ω とし、曲げ挙り応力増分 σ_{ω} とすると

$$\sigma_{\omega} = E \dot{\epsilon}_{\omega} - 3 G \dot{\theta} E \dot{\epsilon} \quad \dots \dots \dots (2)$$

ただし、 E 、 G はヤング率、及びセン断弹性係数であり、 $\dot{\epsilon}$ は正の定数である。

断面に生じるセン断流 $f = \sigma \cdot t$ (t : 厚さ) で表わせば

$$f = f^* - \int_0^t \frac{d\sigma}{dx} t \cdot du \quad \dots \dots \dots (3)$$

右辺第一式 f^* は、いわゆる不静定セン断流理論により求められる。

すなはち、断面に於て ($i = 1, 2, \dots, n$)

$$a_i \dot{f}_i^* - \sum b_{ij} \dot{f}_j^* = \int_0^t \frac{d\sigma}{dx} \cdot t \cdot du + 2G \dot{\theta} A_i - 2 \int_0^t f G \dot{\epsilon} \frac{du}{t} + 2 \sum \dot{f}_j^* \int_0^t G \dot{\epsilon} \frac{du}{t} \quad \dots \dots \dots (4)$$

一方、 ω および $\dot{\omega}$ は、Warping theory⁽⁴⁾ で

$$\begin{aligned} \omega &= \dot{\theta} W_0 + \dot{\omega}_0 \\ W_0 &= \int_0^t K_s \frac{du}{x} - \int_0^t Y_s du \end{aligned} \quad \dots \dots \dots (5)$$

ただし K_s : 挙りセン断流、 Y_s : セン断中心より断面の接線に下した直線の長さ(図-1参照)

この時、反りにより、垂直曲げ歪 ϵ_{ω} は

$$\epsilon_{\omega} = \frac{d\omega}{dx} = \frac{d\dot{\theta}}{dx} W_0 + \frac{d\dot{\omega}_0}{dx} \quad \dots \dots \dots (6)$$

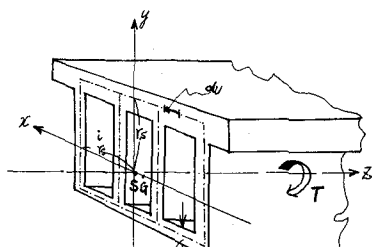


図-1

上式の dW_0/dS は $\int f_{\text{air}} dA = 0$ の条件より次式で求められる。

よって式(2), (3)から、 \tilde{w}_n は次の様に求められる。

$$\left. \begin{aligned} \dot{\omega} &= E \cdot W_u \cdot d\theta_{AB} + \dot{\omega}_{wp} \\ W_u &= W_u' - \frac{i}{A\omega} \int W_u \, dA \end{aligned} \right\} \quad \dots \dots \dots \quad (8)$$

したがし、 $\vec{f}_{wp} = \frac{2E}{3A_0} \int_A \sigma_{\bar{w}} \cdot \vec{n} dA - \frac{2}{3} \sigma_{\bar{w}} \cdot E \vec{n}$ で示される。

式(4), (8)より

$$a_i \dot{g}_i^* - z b_j \dot{g}_j^* = E \frac{d\phi}{dx} \int_0^u w \cdot t \cdot dU_t + 2G \dot{A}_i + g_i \frac{d\tau_w}{dx} \cdot t \cdot du \\ - 2 \oint_i g_i^* G \lambda \frac{du}{t} + 2 \int_0^u g_j^* \int_i G \cdot \lambda \frac{du}{t} \quad \dots \dots \dots (4)$$

$T = \int_{t_0}^{t_1} L$, $a_{ij} = \oint_i \frac{dU}{t}$, $b_{ij} = \oint_{ij} \frac{dU}{t}$, なら断面形状定数である。また $A_0 = \sum f_i t_i dU$ 。

さて、振りモーメントは一般に

$$\dot{T} = \sum_i f_i \dot{f}_i T_{\text{S}} dV \quad \dots \dots \dots \quad (10)$$

式(9), (10), (3)と(4) $GJ = 2G \sum k_s A_i$, $E C_w = E \int w v^2 t du$ とおいた、次式をえぐ。

たたし。 幅; 塑性振りエーメント増分, $G\Delta$; 弾性振り剛性, $EC\alpha$; 弾性曲げ振り剛性, $A\zeta$; 断面との断面積。

3 結び

式(11)の右辺第一、第二項は、いずれも、St. Venant の弾性捩りモーメント 及び曲げ捩りモーメントを示しており、構造解析に極めて適した形の捩りの基礎式が求められた事になる。

なお、曲げと振りの組み合わせ負荷については、文献(3)の方法を併用すれば、容易に同一形式の基礎式が求められることを確認している事と言ふ。本研究に、当り吉村虎蔵九大教授に多大の御助言を賜わった事を、心より感謝申します。

参考文献

- (1) 成瀬泰雄 鋼管構造 森北出版 (P.14~20)
 - (2) 山田喜昭 塑性力学 日刊工業新聞社 (P.66~77)
 - (3) 太田、中沢 曲げたばく振りを受けた鋼管の弾塑性解析 (第一報)
九州大学工学部集報 第46巻 4号 昭和48年8月 (P.502~509)
 - (4) 小松定夫 薄肉構造物の理論と計算 I 山海堂 (P.108~264)
 - (5) 安定、古川、小西 橋梁力学 森北出版 (P.215~240)
 - (6) 林毅 軽構造の理論とその応用 (上) 日本科学技術連盟 (P.67~114)
 - (7) V.T.ウラソフ 薄肉弹性ひずみ理論 技報堂